



Mineralogy and stable isotope geochemistry of hydrothermally altered volcanic rocks in SE of Kashan

A. Kananian¹, M. Aminoroayaie yaminei¹, J. Ahmadian²

1- Faculty of Geology, College of Science, University of Tehran, Iran

2- Payam Noor University of Isfahan

E-mail: Kananian@khayam.ut.ac.ir

(Received: 20/5/2007, in revised form: 12/7/2008)

Abstract: The submarine volcanic rocks of Totmaj volcano-sedimentary sequence, located at 25 Km southeast of Kashan city, have suffered extensive non-uniform propylitization. Based on field and petrographical studies, the volcanic rocks can be classified into three alteration zones: chlorite-epidote zone, epidote zone and hematite zone. The secondary hydrothermal minerals formed in the volcanic rocks include epidote-chlorite, calcite and hematite. These minerals have pseudomorphly replaced the primary phenocrysts (e.g. plagioclase, amphibole, and pyroxene) or have filled veins and vesicles. Stable carbon and oxygen isotope analysis of the hydrothermal calcite indicate that the $\delta^{18}\text{O}$ and $\delta^{13}\text{C}$ values range from -9.2 to -11.3 and -2.02 to -6.02 per mil respectively. Thus, seawater has been a source for hydrothermal fluid which by circulation into the hot submarine lavas, caused to leaching of some elements such as Fe and Mg from the altered rocks with the exception of epidote-chlorite zone. Also, the seawater circulation leads to an increase in Na ratio in the rocks. Geothermometrical studies on hydrothermal chlorite showed that these minerals have formed at a temperature between 240 to 300°C. Furthermore, the ranges of temperature stability of coexisting secondary minerals in the volcanic rocks are compatible with those of the green schist facies.

Keywords: *hydrothermal alteration, geothermometry, stable isotope, basalt, Totmaj.*



کانی‌شناسی و ژئوشیمی ایزوتوب‌های پایدار سنگ‌های آتشفسانی دگرسان شده جنوب خاوری کاشان

علی کنعانیان^۱، مریم امین‌الرعایایی یمینی^۱، جمشید احمدیان^۲

^۱- دانشکده زمین‌شناسی، پردیس علوم، دانشگاه تهران

^۲- دانشگاه پیام‌نور اصفهان

پست الکترونیکی: Kananian@khayam.ut.ac.ir

(دریافت مقاله ۸۶/۲/۳۰، نسخه نهایی ۸۷/۴/۲۲)

چکیده: سنگ‌های آتشفسانی زیردریایی موجود در مجموعه آتشفسانی-ته نشستی تتماج، در ۲۵ کیلومتری جنوب خاوری شهرستان کاشان، دستخوش دگرسانی پروپلیتی نا یکنواخت و گسترده شده‌اند. بر پایه بررسیهای صحرائی، سنگ شناختی و نتایج آنالیزهای XRD، سه زون دگرسان کلریتی-اپیدوتی، اپیدوتی، هماتیتی در منطقه قابل تشخیص‌اند. کانیهای ثانویه گرمابی در سنگ‌های آتشفسانی شامل آلبیت، اپیدوت، هماتیت، کلریت، کلسیت و کوارتز است. این کانیها با به صورت سودومورف جایگزین فنوکریستهای اولیه پلاژیوکلاز، آمفیبول، و پیروکسن شده‌اند و یا شکستگیها و حفره‌های گدازه‌ها را پر کرده‌اند. ترکیب ایزوتوب‌های پایدار کلسیت‌های گرمابی زون دگرسانی کلریتی-اپیدوتی نشان می‌دهد که دامنه تغییرات O^{18} شاره سازنده آن‌ها بین 9.2‰ تا 11.3‰ و C^{13} از 8‰ تا 20.2‰ تغییر می‌کند. بنابراین شاره عامل دگرسانی به استثنای زون هماتیتی آب دریا است که با نفوذ به درون گدازه‌های داغ و چرخش شاره‌ها در آن‌ها باعث سیستمی عناصری مانند آهن و منیزیم از گدازه‌ها و اضافه شدن عناصری مانند سدیم به آن‌ها شده است. بررسیهای زمین-دماسنجه بر روی کلریت‌های دگرسان نشان می‌دهد که این کانیها در دمای بین 240°C تا 300°C تشکیل شده‌اند. بر پایه این نتایج و با توجه به گستره دمای پایداری مجموعه کانیهای همزیست با کلریت (از قبیل اپیدوت، اکتینولیت، کلسیت و کوارتز)، به نظر می‌رسد که سنگ‌های آتشفسانی منطقه تتماج در حد رخساره شیست سبز دگرسان شده‌اند.

واژه‌های کلیدی: دگرسانی گرمابی، زمین-دماسنجه، ایزوتوب پایدار، بازالت، تتماج.

ایران [۱]، این منطقه در باختر زون ایران مرکزی قرار دارد. رخمنون‌های سنگی در منطقه مورد مطالعه به صورت مجموعه‌ای آتشفسانی-ته نشستی است که شامل تنابوی از گدازه، سنگ‌های آذرآواری و ته نشستی می‌شوند. این مجموعه روی سنگ‌هایی با ترکیب آندزیت-داسیتی و ایگنمبربیت داسیتی

۱- مقدمه

منطقه مورد مطالعه به وسعت تقریبی ۶۸ کیلومتر مربع در حوالی روستای تتماج بین طولهای جغرافیایی $51^{\circ} 43'$ تا $51^{\circ} 36'$ شمالی و عرضهای جغرافیایی $45^{\circ} 33'$ تا $45^{\circ} 39'$ خاوری واقع شده است. بر پایه تقسیمات واحدهای زمین ساختی

۲- سنگ‌شناسی

سنگ‌های آتشفشاری-ته نشستی الیگوسن در منطقه تتماج ضخامتی بالغ بر ۷۰۰ متر دارند. این سنگ‌ها از حدود ۵۰٪ گدازه، ۲۰٪ سنگ آذرآواری و ۳۰٪ سنگ ته نشستی تشکیل شده‌اند. روانه‌های گدازه بیشتر ترکیب آندزیت، آندزیت بازالتی، و بازالت دارند. این سنگ‌ها دارای ساخت توده‌ای و بافت میکرولیتی پورفیریک (با فراوانی ۱۵ تا ۲۰ درصد فنوکریست) و حفره‌دار هستند. اندازه حفره‌ها در گدازه‌های مافیک از ۲ میلی‌متر تا ۲ سانتی‌متر تغییر می‌کند. گاهی این حفره‌ها با بلورهای ثانویه پر شده و ساخت بادامکی در سنگ‌ها ایجاد کرده‌اند. گدازه‌های بازیک دارای فنوکریستهای پلازیوکلاز و کانی‌های مافیک می‌باشند. پلازیوکلاز حدود ۸۰٪ از کل فنوکریستهای سنگ را تشکیل می‌دهد. این کانیها اغلب شکل دار تا نیمه‌شکل دارند و ماکل چند ترکیبی و کارلسbad نشان می‌دهند. در برخی از پلازیوکلازها منطقه بندي نيز مشاهده می‌شود. پلازیوکلازهای موجود در سنگ‌های آتشفشاری تتماج با يك ريز پردازنه بررسی شده‌اند و نتایج اين بررسی‌ها در جدول ۱ دیده می‌شوند. فرمول ساختاری اين کانی‌ها بر پایه ۸ اتم اکسیژن محاسبه شده است. ترکیب پلازیوکلازها از نوع آلبیت (Ab_{98}) است. پلازیوکلازها در جریان دگرسانی، از مرکز به سمت حاشیه، به آلبیت، اپیدوت، کوارتز، کلسیت، و به مقدار کمتر به کلریت و سریسیت تبدیل شده‌اند. کانی‌های مافیک کلینوپیروکسن و آمفیبیول هستند و حدود ۱۰٪ از فنوکریستهای سنگ را به خود اختصاص داده‌اند. این کانیها به صورت نیمه شکل دارند. به منظور تعیین نوع و فراوانی عناصر اصلی سازنده پیروکسنها، این کانی‌ها با ریز پردازند، بررسی شدند و نتایج کمی این بررسیها را در جدول ۲ می‌توان دید. فرمول ساختاری این کانیها بر پایه ۶ اتم اکسیژن محاسبه شد، و از لحاظ کانی‌شناسی از نوع اوژیت ($Wo_{40}En_{65}Fs_{35}$) هستند. نتایج بررسی‌های سنگ‌شناسی و پراش سنجی با پرتو X (شکل ۱) حاکی از آن است که آمفیبولهای موجود در سنگ‌های آتشفشاری از نوع منیزیوهرنبند و اکتینولیت هستند. کانی‌های مافیک در نمونه‌های دگرسان شده با اکتینولیت، هماتیت، و

- ریولیتی به سن اوسن قرار گرفته و به وسیله سنگ‌های ته نشستی می‌وسن پوشیده شده است. در بخش‌هایی از منطقه، مجموعه آتشفشاری-ته نشستی مورد مطالعه با مرز گسلی روی توده‌های نفوذی گابرویی تا کوارتز دیوریتی به سن پس از الیگوسن [۲] قرار دارد. این مجموعه در قاعده با سنگ‌های آهکی شروع می‌شود و در نهایت با گدازه‌های آندزیت بازالتی خاتمه می‌یابد.

سوابق کارهای انجام شده در این منطقه محدود به گزارش‌های زمین‌شناسی نقشه ۱/۱۰۰۰۰۰ چهارگوش نطنز [۳] و نقشه ۱/۲۵۰۰۰ چهارگوش کاشان [۴] می‌شود که در آن‌ها به معرفی سنگ‌های آتشفشاری سنوزوئیک اقدام شده است. وجود ساختهای حفره‌ای، درز و شکاف در سنگ‌های آتشفشاری منطقه شرایط مناسبی برای دگرسانی و کانی‌زایی فراهم آورده است و پیدایش کانی‌های گرمابی باعث به وجود آمدن رخمنون‌های رنگارنگ در سطح زمین شده است. کانی‌زایی مس در باخته منطقه تتماج در اثر فعالیت گرمابی با بافت افسان تشکیل شده است و با مجموعه‌ای از کانی‌های پیریت، کالکوپیریت، و پیروتیت مشخص می‌شود.

در این مقاله سعی شد تا با استفاده از نتایج برداشت‌های صحرایی، بررسی‌های سنگ‌شناسی و داده‌های مربوط به تجزیه ریز پردازشی کانی‌های موجود در گدازه‌ها و سنگ‌های آذرآواری منطقه تتماج، و با استناد به نتایج آنالیز ایزوتوبی کانی کلسیت، به بررسی محیط فوران سنگ‌های آتشفشاری و تشخیص انواع دگرسانی سنگ‌های منطقه، دما و خاستگاه گرماب بپردازیم. آنالیز کانیها در دانشگاه ناروتو ژاپن با يك دستگاه ریز پردازندۀ آنالیز JEOL مدل JXA-8800R انجام شده است. در طول آنالیز ریز پردازش، ولتاژ شتابنده دستگاه ۱۵ kV بوده است. کلسیت‌های گرمابی نیز به روش EA-IRMS در آزمایشگاه ایزوتوبهای پایدار بخش زمین‌شناسی و ژئوفیزیک دانشگاه A&M تگراس آمریکا مورد بررسی قرار گرفته‌اند. همچنین تعدادی از نمونه‌های دارای بافت آمیگدالوئید که واجد رگچه‌هایی از کانی‌های ثانویه نیز بوده اند، با پراش سنج پرتو X دانشکده زمین‌شناسی دانشگاه تهران بررسی شده‌اند که نتایج آن بررسیها در این مقاله ارائه شده‌اند.

جدول ۱ نتایج تجزیه ریزپردازشی فنوکریستهای پلازیوکلاز (آهن کل به صورت FeO محاسبه شده است).

نوع سنگ	An	An-Ba	An-Ba	An-Ba	Ba	Ba	Ba
شماره	۸۴TA	۷۷TA	۷۷TA	۷۷TA	۵۲TA	۵۲TA	۵۲TA
مکان	مرکز	مرکز	مرکز	مرکز	مرکز	مرکز	مرکز
SiO ₂	۶۸,۳۱	۶۸,۵۰۵	۶۸,۷۷۲	۶۸,۵۶۲	۶۷,۵۱	۶۶,۹۸	۶۷,۳۸۲
Al ₂ O ₃	۲۰,۰۲	۲۰,۰۶۴	۲۰,۲۶۸	۲۰,۳۰۲	۱۹,۶۱	۱۹,۸۴	۱۹,۲۶۸
TiO ₂	۰,۰۲۹	۰,۰۰۶	۰,۰۱۱	۰,۰۳۴	.	۰,۰۲۱	۰,۰۲۳
Cr ₂ O ₃	۰,۰۰۲	۰,۰۳۸	.	.	۰,۰۳۲	.	۰,۰۰۲
FeO	۰,۰۳۱	۰,۰۵	۰,۱۶۳	۰,۰۹۵	۰,۰۲۱	۰,۰۲۶	۰,۰۱۹
MnO	.	۰,۰۲
MgO	.	.	.	۰,۰۰۸	.	.	.
CaO	۰,۲۶۹	۰,۲۳۳	۰,۲۳۲	۰,۲۱۴	۰,۳۰۸	۰,۲۶۱	۰,۴۰۹
Na ₂ O	۱۱,۸۴	۱۲,۰۲۸	۱۲,۲۶۸	۱۲,۲۵۴	۱۱,۶۸	۱۱,۵۱۶	۱۱,۵۱۳
K ₂ O	۰,۰۵۴	۰,۰۳۴	۰,۰۷۷	۰,۰۶۴	۰,۰۴۳	۰,۰۳۹	۰,۰۴۸
NiO	۰,۰۰۸	۰,۰۰۲	۰,۰۵۲	۰,۰۲۸	.	.	۰,۰۱
Total	۱۰۰,۶	۱۰۰,۹۸	۱۰۱,۸۴	۱۰۱,۵۶	۹۹,۲	۹۸,۶۸	۹۸,۶۷

تعداد کاتیون‌ها بر اساس ۸ اتم اکسیژن

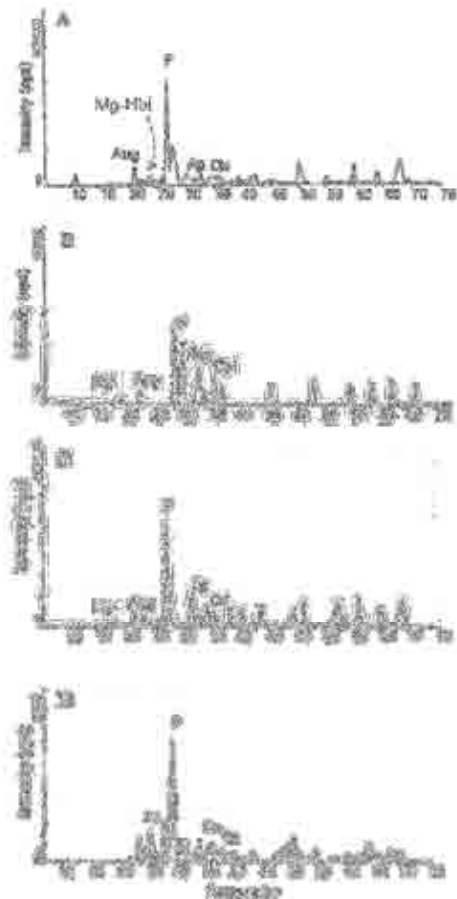
Si	۲,۹۶۵	۲,۹۷۲	۲,۹۷۱	۲,۹۶۲	۲,۹۶۰	۲,۹۷۵	۲,۹۶۸
Al	۱,۰۲۴	۱,۰۲۶	۱,۰۲۵	۱,۰۲۸	۱,۰۳۲	۱,۰۱۹	۱,۰۳۵
Ti	۰,۰۰۱	۰,۰۰۱	.	.	۰,۰۰۱	.	۰,۰۰۱
Fe	۰,۰۰۳	۰,۰۰۱	۰,۰۰۲	۰,۰۰۶	۰,۰۰۴	۰,۰۰۱	۰,۰۰۱
Mn	۰,۰۰۲	.	۰,۰۰۱
Mg	۰,۰۰۲	.	.	.	۰,۰۰۱	.	.
Ca
Na	۰,۰۰۹	۰,۰۱۳	۰,۰۱۱	۰,۰۱۱	۰,۰۱۰	۰,۰۱۵	۰,۰۱۳
K	۱,۰۲۶	۰,۹۹۹	۱,۰۱۱	۱,۰۲۵	۱,۰۲۶	۰,۹۹۹	۰,۹۸۹
Ab	۰,۹۸	۰,۹۸	۰,۹۸	۰,۹۸	۰,۹۸	۰,۹۸	۰,۹۷
An	۰,۰۱۲	۰,۰۱	۰,۰۱	۰,۰۱	۰,۰۱۴	۰,۰۱۲	۰,۰۱۹
Or	۰,۰۰۳	۰,۰۰۲	۰,۰۰۴	۰,۰۰۳	۰,۰۰۲	۰,۰۰۲	۰,۰۰۳

علائم : An = آندزیت، Ba = بازلات، An-Ba = بازلات، Or = اکسیژن

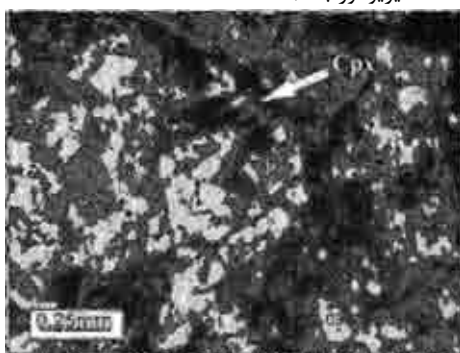
کلریت جانشین شده‌اند. این جانشینی از حاشیه به درون انجام شده است به طوری که در برخی از نمونه‌ها فقط قالبی از کانی اولیه به جا مانده است، و بافت اسپیلیتی نشان می‌دهند (شکل ۲). کانیهای فرعی موجود در گذاره‌های بازیک شامل آپانیت، اسفن و کانیهای تیره می‌شوند. زمینه ریزدانه در حدود ۷۰ درصد حجم سنگ را به خود اختصاص داده است که در این میان میکرولیتهای پلازیوکلاز بیشترین فراوانی را دارند. در فضای بین میکرولیتها کانیهای کلسیت، هماتیت، کلریت، کوارتز قرار دارند.

سریسیت، کلریت، اپیدوت به همراه کلسیت، کوارتز و هماتیت رگه‌ها و حفره‌ها را پر کرده‌اند. سنگهای آتشفسانی گاه به وسیلهٔ دایکهایی با ترکیب دلربی قطع شده‌اند. دایکها در نمونه دستی با رنگ سبز تیره مشخص می‌شوند و به فراوانی حاوی فنوکریستهای پلازیوکلاز و اوژیت هستند.

سنگهای آذرآواری منطقهٔ تتماج برپایهٔ رده‌بندی فیشر و اشمینک [۶] در ردۀ کریستال-لیتیک توف و آگلومرا قرار می‌گیرند. کریستال-لیتیک توف‌ها بیشتر دارای ترکیب آندزیتی و آندزیت بازالتی هستند. خرد سنگهای سازندهٔ این سنگ‌ها از جنس آتشفسانی با بافت میکرولیتی و هیالوپورفیری حفره‌دارند. از دیگر اجزای تشکیل دهندهٔ این سنگ‌ها می‌توان به بلورهای پلازیوکلاز و به مقدار کمتر کلینوپیروکسن اشاره کرد. کانیهای کلریت، اپیدوت، کلسیت، هماتیت و کوارتز به صورت سودومورف جانشین کانیهای اصلی سنگ شده‌اند و یا حفره‌ها را پر کرده‌اند. اندازهٔ تکهٔ پاره‌های سنگی در توف‌ها کمتر از ۲ میلی‌متر و در آگلومراها گاه به ۱۵ سانتی‌متر می‌رسد. سنگهای تهنشستی منطقهٔ تتماج بیشتر شامل سنگ آهک و ماسه سنگاند. این سنگ‌ها به صورت تووده‌ای و یا لایه‌هایی به ضخامت متوسط ۳۰ سانتی‌متر بین سنگهای آتشفسانی قرار گرفته‌اند. راستای طبقات تهنشستی در حدود ۱۴۵ درجه و شیب آن‌ها ۷۰ درجه به سمت شمال خاوری است. گاهی در این سنگ‌ها لایه‌بندی ظرفی دیده می‌شود که می‌تواند نشان دهند تشکیل این سنگ‌ها دریک محیط زیر دریابی آرام باشد.



شکل ۱ نقش پراش پرتو X از سنگهای بازیک منطقه تتماج که انواع کانیهای موجود در این سنگهای آتشفسانی را مشخص می‌کند
A) : آندزیت، B : بازالت، C : آندزیت بازالتی،
D : بازالت، F : فلدسپار، Qz : کوارتز، Hem : هماتیت، Ab : آلبیت،
Ep : اوژیت، Ap : اپیدوت، Cal : کلسیت، Aug : آگیت، Mg-Hbl : مینیزیوهورنبلند).



شکل ۲ بافت اسپیلیتی در سنگهای منطقه تتماج. کانی کلینوپیروکسن (Cpx) که به کانی کلریت تبدیل شده است در زمینه ای از میکرولیتهای پلازیوکلаз که به کلریت و اپیدوت دگرسان شده‌اند.

جدول ۲ نتایج تجزیه ریزپردازشی فنوکریستهای پیروکسن در آندزیت بازالتی (آهن کل به صورت FeO محاسبه شده است).

نوع سنگ	An-Ba	An-Ba	An-Ba
شماره نمونه	v7TA	v7TA	v7TA
مکان	حاشیه	حاشیه	مرکز
SiO ₂	51,249	51,039	51,389
Al ₂ O ₃	1,765	2,179	1,651
TiO ₂	0,602	0,74	0,625
Cr ₂ O ₃	0,029	0,037	0,008
FeO	9,503	9,441	11,159
MnO	0,31	0,361	0,382
MgO	15,479	15,361	14,704
CaO	20,033	19,65	19,445
Na ₂ O	0,318	0,322	0,303
K ₂ O	-	0,011	0,016
NiO	-	-	0,022
Total	99,28	99,14	99,70

تعداد کاتیون‌ها بر اساس ۶ اتم اکسیژن

TSi	1,913	1,908	1,908
TAl	0,078	0,092	0,092
M ₁ Al	-	0,004	0,004
M ₁ Ti	0,017	0,021	0,021
M ₁ Fe	0,021	0,118	0,118
M ₁ Cr	0,001	0,001	0,001
M ₁ Mg	0,861	0,856	0,826
M ₂ Fe	0,176	0,178	0,178
M ₂ Mn	0,01	0,011	0,011
M ₂ Ca	0,801	0,787	0,787
M ₂ Na	0,023	0,023	0,023
M ₂ K	-	0,001	0,001
Sum-Cat	4	3,999	3,999

تماج را می‌توان الیگوسن در نظر گرفت.

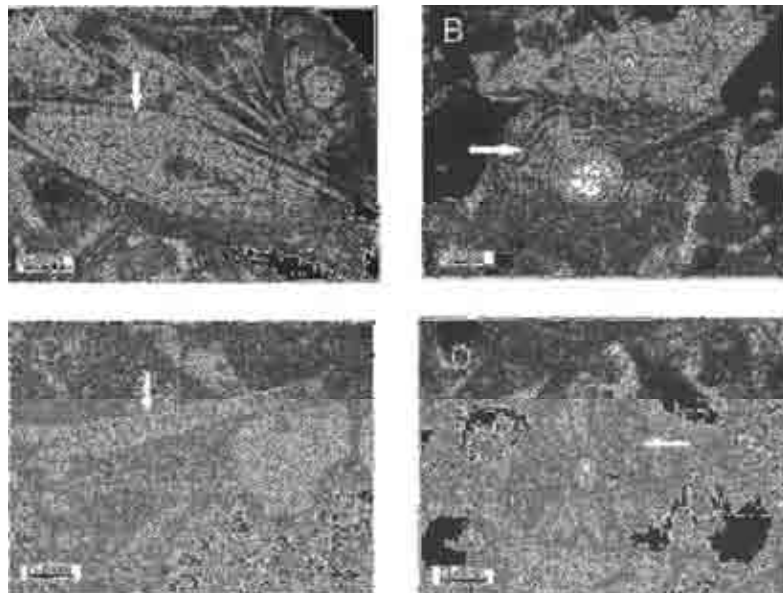
بررسی‌های تهنشست‌شناسی نشان می‌دهد که میکروفاسیسهای موجود در منطقه شامل ریف مرجانی و لاغونی می‌شود. میکروفاسیسهای ریف مرجانی به صورت بیوکلاست باندستون قابل مشاهده هستند. این رخساره دارای عناصر اسکلتی نظیر جلبک، مرجان و گاستروپود است. این آلوکم‌ها در یک متن سیمان کلسیتی اسپاری قرار دارند. میکروفاسیسهای لاغونی نیز به صورت بیوکلاست پکستون و بیوکلاست گرینستون وجود دارند. این رخساره دارای برویزوآ، جلبک، مرجان و فرامینیفرهای بتیک است. این اجزای اسکلتی در یک متن اسپاریتی تا کمی میکراتی قرار دارند (شکل ۴). فسیلهای موجود در سنگ‌های آهکی منطقه نیز نشان می‌دهند که این موجودات در یک محیط زیردریایی نزدیک به ساحل زندگی می‌کردند. شواهدی مانند تناوب سنگ‌های آتشفسانی و تهنشستی و وجود پاره گذازه‌ها در قاعده طبقات تهنشستی (شکل ۵) نشان می‌دهد که سنگ‌های آتشفسانی-تهنشستی تماج در یک محیط زیردریایی نزدیک به ساحل تشکیل شده‌اند.

۳- سن و محیط تشکیل سنگ‌های منطقه تماج

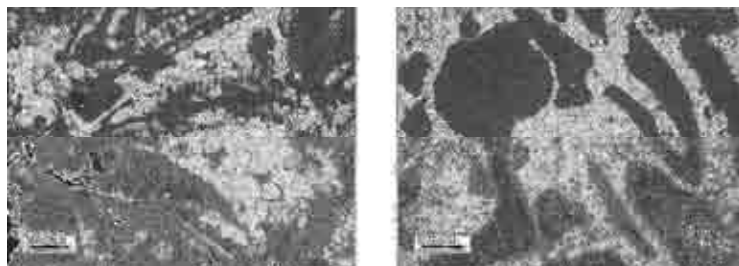
برای مجموعه آتشفسانی-تهنشستی تماج در نقشه‌های زمین‌شناسی ۱/۱۰۰۰۰۰ چهارگوش نطنز [۳] و ۱/۲۵۰۰۰ چهارگوش کاشان [۴] سننهای متفاوتی ارائه شده است. علاوه بر خلعتبری در نقشه ۱/۱۰۰۰۰ نطنز سن سنگ‌های آتشفسانی تماج را ائوسن میانی و بالائی معرفی کرده‌اند. در حالی که در نقشه ۱/۲۵۰۰۰ کاشان سن این سنگ‌ها الیگوسن بیان شده است. این اختلاف سن ما را بر آن داشت تا با نمونه برداری از میکروفسیلهای موجود در سنگ‌های آهکی که در تناوب با سنگ‌های آتشفسانی منطقه هستند، سن این سنگ‌ها را مورد بررسی قرار دهیم. بررسی‌های میکروسکوپی نشان می‌دهد که میکروفسیلهای موجود در سنگ‌های رسوبی شامل:

Operculina complanata *Eulepidina dilate pellatispira* sp. *Algal fragments haplophragmium slingeri* *victoriella* sp. *Astrigerina* sp. *Coral bryozoa* *Gastropoda*. *Heterostegina* sp. *Amphistegina* sp. *Rotalia viennoti*. *Miliolid Planorbolina* sp. *Nealveolina* sp. *Pyrgo* sp. *Astrigerina* sp. *Echinoid spine*. *Nummulites* sp.

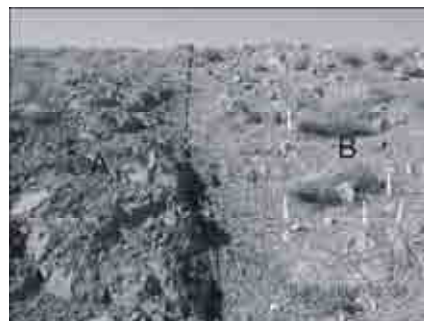
می‌شوند (شکل ۳) و طبق نظر لوبلیش و تاپان [۷] متعلق به الیگوسن می‌باشند. بنابراین سن مجموعه آتشفسانی-رسوبی



شکل ۳ فسیلهای موجود در سنگ‌های آهکی شامل: (A): *Rotalia viennoti*; (B): *Nummulites intermedius/Fichteli*; (C): *Nephrolepidina tourouperi*; (D): *Eulepidina dilatata* است. با توجه به حضور طبقات تهنشستی فسیل دار متشکل از رخساره‌های کم عمق در سنگ‌های آتشفسانی منطقه، می‌توان نتیجه گرفت که سنگ‌های آتشفسانی در زمان الیگوسن و در یک محیط زیردریایی کم عمق تشکیل شده‌اند.



شکل ۴ محیط تشکیل سنگ‌های آهکی منطقه تماماج بر پایه وجود میکروفاسیسهای لاغونی (A) و ریف مرجانی (B) یک محیط زیردریایی نزدیک به ساحل بوده است. با توجه به تناب این سنگها با سنگ‌های آتشفسانی تماماج می‌توان نتیجه گرفت که سنگ‌های آتشفسانی نیز در یک محیط زیردریایی تشکیل شده‌اند.



شکل ۵ مرز سنگ‌های آتشفسانی و تنهنستی. خط چین سیاه رنگ جدا کننده آندزیت‌ها (بخش A) از سنگ‌های آهکی (بخش B) است و پیکان‌ها معرف حضور تکه پاره‌های گدازه گردشده و سالم گدازه در قاعده سنگ‌های آهکی هستند که همزمان بودن فرایندهای دگرسانی و آتشفسانی را نشان می‌دهد.

حفره‌ها و رگه‌های موجود در سنگ‌های آتشفسانی منطقه به وسیله اپیدوت، کلسیت و کوارتز پر شده‌اند. سنگ‌های منطقه تماماج به یکی از سه شکل زیر دستخوش دگرسانی شده‌اند:

- ۱- دگرسانی پرکننده رگه‌ها و رگچه‌ها: در این دگرسانی شکستگی‌هایی که طی تکامل سیستم گرمابی شکل گرفته‌اند با کانیهای ثانویه اپیدوت، کوارتز و کلسیت که حاصل تنهنست سیالات گرمابیها هستند، پر شده‌اند (شکل ۶-۶A).
- ۲- دگرسانی انتخابی: در اثر این دگرسانی پلازیوکلاز در حجم گسترهای از سنگ‌های منطقه به کلسیت و اپیدوت تبدیل شده است. وجود درزهای میکروسکوبی که به خوبی گسترش یافته باشند، شرط اساسی گسترش این نوع دگرسانی در سنگ میزبان است (شکل ۶-۶B و C).
- ۳- دگرسانی فرآگیر: طی این دگرسانی تمام حجم سنگ به طور یکتاخت اپیدوتی شده و سنگی با ترکیب شیمیایی، کانی‌شناسی و بافتی متفاوت از سنگ اولیه به وجود آمده است (شکل ۶-۶D).

۴- دگرسانی

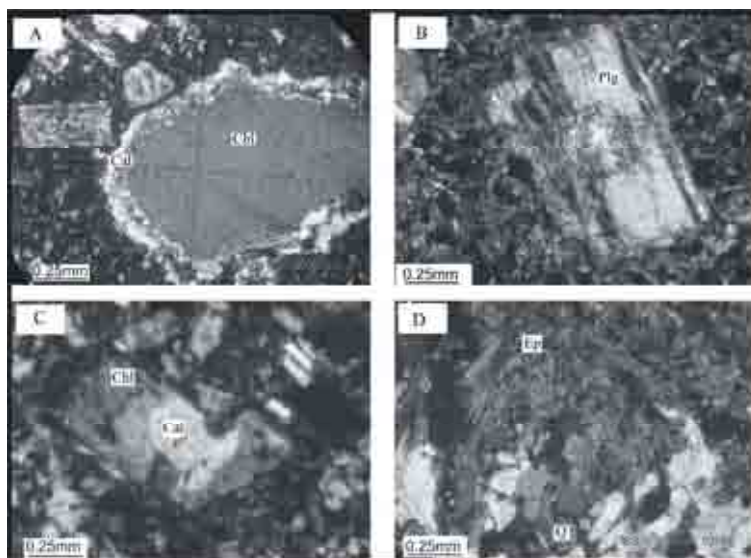
بررسیهای سنگ‌شناختی و برداشت‌های صحرایی نشان می‌دهد که سنگ‌های آتشفسانی منطقه تماماج دستخوش دگرسانی گرمایی شده و طی این فرآیند پاراژنزی از کانیهای دگرگون با درجه ضعیف در حد رخساره شیست سبز نظیر آلیت، اپیدوت، کلریت و اکتینولیت (دگرسانی پروپلیتی) در آن‌ها تشکیل شده است. آلیت، اپیدوت و هماتیت فراوان ترین کانیهای موجود در این سنگ‌ها هستند. کانیهای کلریت، کلسیت و کوارتز چند بلوری دارای فراوانی کمتری هستند. اکتینولیت و سریسیت نیز به ندرت قابل مشاهده‌اند.

در این سنگها کانیهای آلیت، اپیدوت، کلسیت، کوارتز و به مقدار کمتر کلریت و سریسیت، به طور بخشی یا کامل جانشین پلازیوکلازها شده‌اند و در جاهایی که دگرسانی شدیدتر بود، فقط قالبی از پلازیوکلاز بر جای مانده است. هماتیت و کلریت جانشین کانیهای مافیک نظیر پیروکسن و آمفیبول شده‌اند. کلسیت، کلریت، هماتیت و کوارتز در زمینه سنگ حضور دارند.

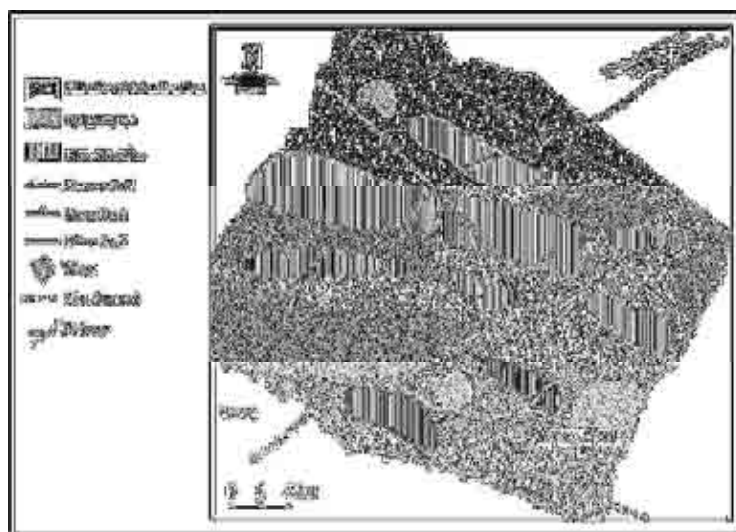
شرایطی است که شاره دارای دمای پایین، مقادیر اندک H^+ , CO_2 و نسبتاً غنی از Fe , Mg و HCO_3^- باشد. در این فرایند به احتمال زیاد نسبت آب به سنگ بالاست. دگرسانی پروپلیتی در منطقه مورد مطالعه بر پایه ویژگیهای کانی‌شناختی به سه زون کلریت-اپیدوتی، هماتیتی و اپیدوتی قابل تقسیم است.

۱-۴- انواع دگرسانیها

چنانکه در شکل ۷ مشاهده می‌شود سنگ‌های آتشفسانی منطقه تمامج به طور گسترده و غیر یکنواخت تحت تأثیر دگرسانی پروپلیتی قرار گرفته‌اند. به عقیده تاتلی و بین [۸] پدیده پروپلیتی شدن و تشکیل کانی‌های ویژه آن، مربوط به



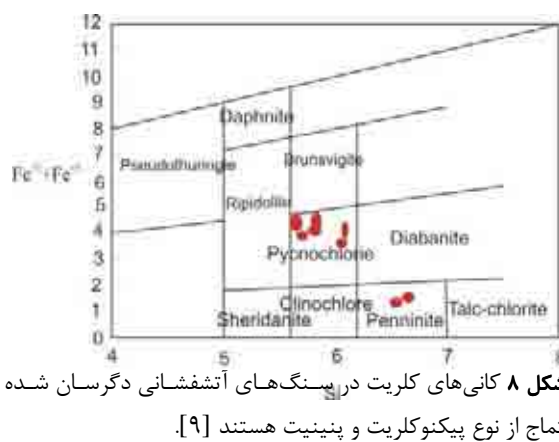
شکل ۶ تصاویر میکروسکوپی از سنگ‌های دگرسان شده منطقه تمامج (در نور قطبیده). A: حفره پر شده از کلسیت و کلریت. B: پلازیوکلاز در حال تجزیه به کوارتز و سریسیت. C: پلازیوکلازی که به کلسیت و کلریت تبدیل شده است. D: آندزیت بازالتی که کاملاً به اپیدوت و کوارتز تبدیل شده است (Ep: اپیدوت، Q: کوارتز، Chl: کلریت، Cal: پلازیوکلاز).



شکل ۷ نقشه آلتراسیون منطقه تمامج که زون‌های دگرسانی در آن مشخص شده است.

جدول ۳ نتایج تجزیه ریزپردازشی کلریت در سنگ‌های آندزیت بازالتی، (آهن کل به صورت FeO محاسبه شده است).

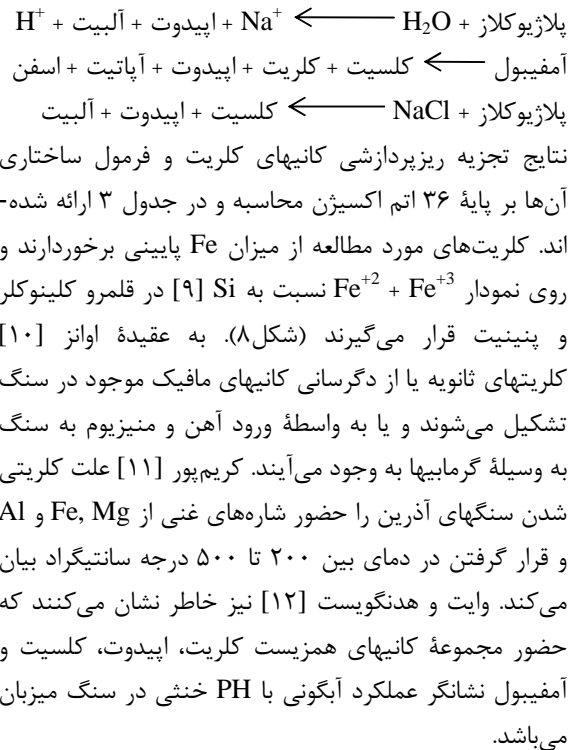
نمونه	TA852	TA852	TA852	TAV77	TAV77	TA84	TA84	TA84
SiO ₂	26.91	26.93	26.29	26.81	29.02	26.71	28.50	28.66
Al ₂ O ₃	19.04	18.81	14.17	16.89	16.93	16.98	17.08	16.62
TiO ₂	-	0.02	0.05	0.01	-	0.04	0.04	-
Cr ₂ O ₃	0.05	0.01	-	0.01	-	-	-	0.05
FeO	22.96	22.34	19.72	24.14	23.71	22.69	22.41	22.35
MnO	0.65	0.65	0.54	0.57	0.55	1.07	1.19	1
MgO	17.58	17.06	18.86	17.16	17.23	17.39	18.19	18.99
CaO	0.18	1	0.24	0.26	0.34	0.21	0.04	0.18
Na ₂ O	0.02	0.01	0.04	0.04	0.04	0.02	-	0.02
K ₂ O	0.08	-	0.29	0.16	0.12	0.08	-	0.06
NiO	0.02	-	-	0.02	0.05	0.04	0.01	-
Total	87.50	86.97	82.21	88.07	87.97	85.25	88.06	87.97
تعداد کاتیون‌ها بر اساس ۳۶ اتم اکسیژن								
Si	5.63	5.68	6.35	6.01	6.04	5.78	5.86	5.95
Al ^{IV}	2.27	2.23	1.65	1.99	1.95	2.23	2.14	2.05
Al ^{VI}	2.23	2.35	1.96	2.16	2.2	2.09	2.09	2.01
Al	4.69	4.67	3.61	4.15	4.15	4.32	6.23	4.06
Ti	-	0.003	0.008	0.002	0.001	0.008	-	0.001
Fe	4.02	4.11	3.57	4.21	4.14	4.09	5.66	3.89
Cr	0.008	0.001	-	0.002	-	-	-	0.009
Mn	0.11	0.12	0.09	0.10	0.09	0.19	0.21	0.17
Mg	5.48	5.36	6.09	5.34	5.35	5.60	5.66	5.89
Ca	0.04	0.03	0.05	0.06	0.08	0.05	-	0.04
Na	0.008	0.004	0.017	0.015	0.015	0.007	0.001	0.01
K	0.021	0.002	0.08	0.04	0.03	0.02	-	0.01
O	36	36	36	36	36	36	36	36



شکل ۸ کانی‌های کلریت در سنگ‌های اتشفشاری دگرسان شده تتمام از نوع پیکنوكلریت و پنینیت هستند [۹].

۴-۱-۱-۱- دگرسانی کلریتی-اپیدوتی

این نوع دگرسانی به صورت نایکنواخت و با گسترش زیاد در آندزیت‌ها، آندزیت‌های بازالتی و بازالت‌های منطقه مشاهده می‌شود. وجود درز و شکاف‌های موجود در این سنگ‌ها شرایط گذر گرمابیها را فراهم کرده‌اند. به طوری که در این زون رگمه‌های پرشده به وسیله کوارتز، کلسیت و اپیدوت به فراوانی قابل مشاهده است. دگرسانی در این زون منجر به کلریتی شدن کانیهای فرومینیزین (اوژیت و منیزیوهرنبلند) شده و در برخی از بخشها شدت دگرسانی به حدی است که کانی اولیه آن قابل تشخیص نیست. پلازیوکلارز از مرکز به اپیدوت تبدیل شده‌اند و در برخی نمونه‌ها فنوکریست‌های پلازیوکلارز به طور کامل به وسیله اپیدوت جایگزین شده‌اند. نتایج آنالیز مodal مشخص کرد که سنگ‌های مربوط به این زون دارای ۱۴٪ کانی‌های مافیک تجزیه شده به کلریت و هماتیت، ۴۱٪ پلازیوکلارز تجزیه شده به اپیدوت و کلریت، ۶٪ کلسیت، ۳٪ اپیدوت، ۲٪ کلریت، ۳٪ میکرولیت پلازیوکلارز و ۱٪ کدر هستند. اپیدوت به صورت پیستاسیت و زوئیزیت در نمونه‌ها حضور دارد و به نظر می‌رسد که کانیهای یاد شده بنابر واکنش‌های زیر در سنگ‌های یازیک منطقه به وجود آمده باشند [۸] :



ارائه شده است. چنانکه در این جدول مشاهده می‌شود مقدار پیستاسیت در اپیدوت‌های منطقه در حدود ۰/۳ تا ۰/۴ درصد مولی است.

۳-۱-۴-دگرسانی هماتیتی

سنگ‌های آتشفشنایی هماتیتی شده با روند تقریباً خاوری-غربی، به موازات زون‌های اپیدوتی شده، رخنمون‌های قابل توجهی را در سطح منطقه به خود اختصاص داده‌اند (شکل ۷). در این سنگ‌ها هماتیت جانشین کانیهای فرومینیزین شده و در زمینه سنگ نیز به فراوانی قابل مشاهده است. حضور هماتیت به این سنگ‌ها رنگ ارغوانی بخشیده است. معمولاً در سنگ‌های این زون علاوه بر هماتیت، کلسیت و اپیدوت نیز حضور دارد و به نظر می‌رسد هماتیتی شدن به واسطه نفوذ آبگونهای غنی از Ca-Fe-Mg [۱۵] در آندزیت‌های بازالتی و بازالت‌های منطقه تتمامی به وجود آمده باشد. همزیستی هماتیت و کربنات در این سنگ‌ها نشان می‌دهد که خاستگاه احتمالی شاره، آبهای جوی بوده و در زمان دگرسانی، شرایط اکسایش و فوگاسیتۀ بالا بر محیط حاکم بوده است [۱۵].

۴-۲-۱-۴-دگرسانی اپیدوتی

زون‌های اپیدوتی شده با حضور سنگ‌های آتشفشنایی غنی از اپیدوت در منطقه مشخص می‌شوند. سنگ‌های مربوط به این زون را بازالت‌های آندزیتی حفره‌دار تشکیل می‌دهند که دارای تخلخل بالایی هستند. منافذ موجود در این سنگ‌ها گذرگاه‌های مناسبی برای گذر گرمابیها در جریان دگرسانی بوده‌اند. بیشتر پژوهشگران بر این باورند که شاره‌های غنی از Ca می‌توانند باعث اپیدوتی شدن سنگ میزبان شوند [۱۱ و ۱۳]. به عقیده سیفرید و همکاران [۱۴] در اثر واکنشهای تثیت Ca در سنگ H⁺ تولید شده و باعث شیستشوی فلزی و اپیدوتی شدن سنگ میزبان می‌شود. کانی اپیدوت در این سنگ‌ها جانشین پلازیوکلاز و کانیهای مافیک (اوژیت و منیزیوهرونبلند) شده است و در زمینه سنگ نیز به فراوانی یافت می‌شود. سنگ‌های آتشفشنایی این زون حدود ۷۴٪ اپیدوت، ۲٪ پلازیوکلاز، ۲۳٪ کوارتز و ۱٪ کانی‌های تیره دارند و به علت فراوانی اپیدوت به رنگ سبز روشن دیده می‌شوند.

نتایج تجزیه ریزپردازشی اپیدوت و فرمول ساختمانی این کانی که بر پایه ۱۳ اتم اکسیژن محاسبه شده، در جدول ۴

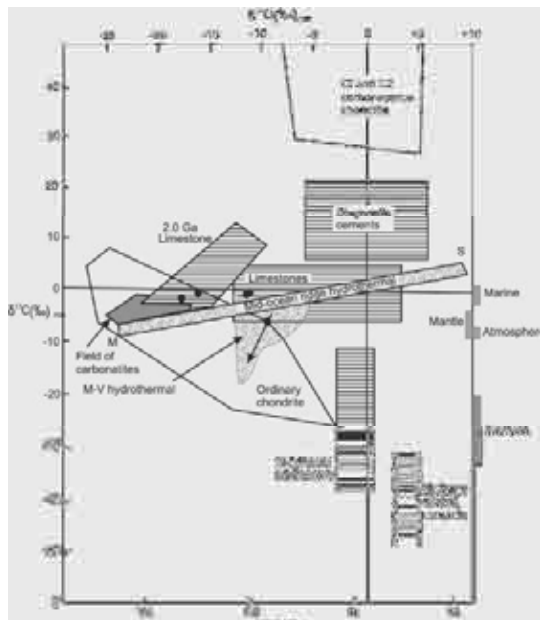
جدول ۴ نتایج تجزیه ریزپردازشی اپیدوت در یک سنگ آندزیت (آهن کل به صورت Fe₂O₃ محاسبه شده است).

نوع سنگ	An	An
شماره نمونه	۸۴TA	۸۴TA
SiO ₂	۳۷,۰۳۸	۳۶,۴۱۶
Al ₂ O ₃	۲۲,۷۱۸	۱۹,۴۹۱
TiO ₂	۰,۰۰۴	۰,۰۶۳
Cr ₂ O ₃	.	۰,۰۱
Fe ₂ O ₃	۱۳,۶۰۸	۱۸,۴۰۲
MnO	۱,۳۱۸	۰,۱۶
MgO	۰,۰۰۹	۰,۰۲۱
CaO	۲۱,۱۱۹	۲۳,۱۱۲
Na ₂ O	.	۰,۰۱۶
NiO	۰,۰۱	.
Total	۹۵,۸۲۴	۹۷,۶۹۱
فرمول ساختمانی بر اساس ۱۳ اتم اکسیژن		
Si	۳,۲۴۷	۲,۷۶۳
Al	۲,۳۴۸	۲,۹۵۷
Fe ³⁺	۱,۰۵۵	۳۲۱.
Mg	۰,۰۹۷	۰,۰۱۲
Ca	۰,۰۰۱	۰,۰۰۱
Ps	۰,۳	۰,۴

در گستره $\delta^{18}\text{O} = 1/55\%$ که معرف کربناتهای دریایی است [۱۶] قرار می‌گیرند. به این ترتیب می‌توان به این نتیجه رسید که کلسیتهای گرمابی موجود در این سنگ‌ها، خاستگاه زیردریایی داشته و دگرسانی زون کلریت-اپیدوت در مرحله فوران زیردریایی و تحت تأثیر آب دریا به وجود آمده است.

جدول ۵ ترکیب ایزوتوبی کلسیتهای هیدروترمال که بر اساس استاندارد PDB اندازه‌گیری شده‌اند.

شماره نمونه	$\delta^{13}\text{C}$	$\delta^{18}\text{O}$
TA۱۰	-۶.۰۲	-۹.۲۸
TA۴۷	-۲.۶۴	-۱۸.۳
TA۲۶	-۰.۵۶	-۱۱.۲۴
TA۶۰	-۱.۴۷	-۱۵.۹۶
TA۶۷	-۲.۰۲	-۱۱.۳۶



شکل ۹ ترکیب $\delta^{18}\text{O}$ در مقابل $\delta^{13}\text{C}$ کربنات‌ها در محیط‌های مختلف [۱۹]. مقادیر کربنات‌های رسوی (مناطق هاشور خورده) از هادسون [۲۰] و بیکر و فلیک [۲۱]، کلسیتهای هیدروترمال پشت‌های میان اقیانوسی از استیکز و انیل [۲۲]، کلسیتهای هیدروترمال نوع دره می‌سی‌بی از ریچاردسن و همکاران [۲۳]، ترکیب کندریت از رایت و همکاران [۲۴] و محدوده کربناتیت‌ها از دینز و گلد [۲۵]. با توجه به مقدار $\delta^{13}\text{C}$ در کربنات‌های دریایی که برابر $\delta^{13}\text{C} = 1/55\%$ است [۱۶] می‌توان نتیجه گرفت که کلسیتهای موجود در زون دگرسانی کلریت-اپیدوت منطقه تتماج در محدوده کربنات‌های دریایی قرار می‌گیرند.

۲-۴- خاستگاه شاره

بنابر نظر فار [۱۶] ترکیب ایزوتوبی آب وابسته به تشکیل کانسارهای گرمابی و دگرسانی سنگ دیواره وابسته به آن را به دو صورت مختلف می‌توان ارزیابی کرد: (۱) از طریق تجزیه آب به دام افتاده در شاره‌های نفوذی، و (۲) از طریق محاسبه مقادیر $\delta^{18}\text{O}$ و δD شاره‌آبگینی که اکسیژن و هیدروژن را با کانی‌ها در دمایی خاص متعادل کرده است. اوهموتو [۱۷] و اوهموتو و رای [۱۸] نیز عقیده دارند که با این روش‌ها امکان تعیین خاستگاه و ترکیب ایزوتوبی آبی که در تنهشست کانسنگ و دگرسانی سنگ دیواره مشارکت داشته است وجود دارد. با توجه به این شواهد و به منظور تعیین خاستگاه گرماب که باعث دگرسانی سنگ‌های آتشفسانی تتماج شده است، نمونه‌هایی از کلسیتهای گرمابی همزیست با اپیدوت و کلریت موجود در زون کلریت-اپیدوت که حفره‌های و رگه‌ها را پر کرده بودند، از سنگ جدا و با استفاده از طیف‌سنج جرمی به روش EA-IRMS در آزمایشگاه ایزوتوبهای پایدار بخش زمین شناسی و ژئوفیزیک دانشگاه A&M تگزاس آمریکا مورد بررسی ایزوتوبی قرار گرفتند. نتایج این آزمایشها در جدول ۵ ارائه شده‌اند. مقادیر $\delta^{18}\text{O}$ کلسیتهای یاد شده از -۹.۲% تا -۱۱.۳% و $\delta^{13}\text{C}$ آن‌ها از -۶.۰۲ تا -۱۰.۰۲ تغییر می‌کند.

خطای تجزیه در طول آزمایش 0.5% محاسبه شده است. شکل ۹ مقادیر $\delta^{18}\text{O}$ نسبت به $\delta^{13}\text{C}$ را برای ترکیبات کربناته در محیط‌های مختلف نشان می‌دهد [۲۵-۱۹]. در این نمودار محور X بر حسب دو استاندارد، مدرج شده است. در بخش پایین نمودار، مقدار $\delta^{18}\text{O}$ بر پایه استاندارد SMOW (Standard Mean Ocean Water) و در بخش بالا بر پایه استاندارد PDB (Pee Dee Belemnite) معرفی شده است. مقدار $\delta^{13}\text{C}$ نیز روی محور Y بر پایه استاندارد PDB تعیین شده است. ترکیب ایزوتوبی تعدادی از مخازن کربن در سمت راست نمودار مشخص شده‌اند. چنانکه ملاحظه می‌شود ترکیب ایزوتوبی کربنات‌های دریایی در گستره باریکی از تغییرات $\delta^{13}\text{C}$ ($\delta^{13}\text{C} = 1/55\%$) قرار می‌گیرد. همچنین گستره ترکیبهای ایزوتوبی کربنات‌های تنهشستی کلسیتهای گرمابی پشت‌های میان اقیانوسی با دو خاستگاه گوشه‌ای (قطب M) و آب دریا (قطب S)، کلسیتهای گرمابی از نوع دره می‌سی‌بی (M-V hydrothermal) و ترکیبهای کندریتی در این نمودار مشخص شده است. مقادیر ایزوتوبی $\delta^{13}\text{C}$ در کلسیتهای گرمابی زون کلریت-اپیدوت سنگ‌های آتشفسانی بازیک تتماج

دگرسانی احتمالاً در دو مرحله سنگهای منطقه را تحت تأثیر قرار داده باشد. سنگهای زون کلریت-اپیدوت در مرحله اول و در شرایط زیردریایی در اثر نفوذ آب دریا دگرسان شده‌اند و سنگهای زون هماتیتی که بر خلاف دو زون دیگر در شرایط اکسایش و تحت تأثیر آبهای جوی تشکیل شده‌اند در مرحله بعدی و احتمالاً پس از خروج سنگ‌ها از آب به وجود آمدند.

۳-۴- دمای شاره

برای تعیین دمای دگرسانی سنگهای منطقه تتماج از دمای تشکیل کانی کلریت و گستره دمای پایداری سایر کانی‌های ثانویه موجود در این سنگ‌ها استفاده شده است. با توجه به همراهی کانی‌های کلریت، اپیدوت و اکتینولیت در سنگهای دگرسان شده منطقه، به نظر می‌رسد فرایند دگرسانی در شرایط حاکم بر رخساره شیست سبز رخ داده باشد. گستره دما-فسار کانی‌های رخساره شیست سبز با رنگ تیره در شکل ۱۰ نشان داده شده است [۲۶ و ۲۷]. استفاده از زمین‌دماسنج کادلینیو و نیوا [۲۸] و کادلینیو [۲۹] که بر پایه افزایش سیستماتیک مقدار Al^{IV} کلریت با افزایش دما طراحی شده، نشان می‌دهد که کانی‌های کلریت موجود در سنگهای منطقه در دمای حدود 240°C تا 300°C تشکیل شده‌اند (شکل ۱۱). بنابر عقیده شیفمن و فردلیفسن [۳۰] چنانچه ترکیب کلریت به سمت کلینوکلر و پنینیت سوق یابد، به طور قطع دمای تشکیل آن بین 245°C - 265°C خواهد بود. با وجود این کاریتات و همکاران [۳۱] و بیس و همکاران [۳۲] عقیده دارند که ترکیب کلریت به تنها برای تعیین دمای دگرسانی سنگ مناسب نیست و لذا باید از زمین-دماسنج کلریت با احتیاط استفاده کرد. به همین منظور برای اطمینان بیشتر دمای دگرسانی سنگهای منطقه از روی گستره پایداری کانی‌های ثانویه همراه با کلریت نیز تعیین شده است. بیشتر پژوهشگران اعتقاد دارند که اپیدوت در دمای بالاتر از 250°C تشکیل می‌شود [۳۳] ولی به عنوان مثال چو و همکاران [۳۴] و ریز [۳۵] عقیده دارند که کانی‌های اپیدوت در دمای 200°C نیز قادر به تشکیل هستند.

بر پایه بررسیهای که تا کنون روی کانی‌های گرمابی انجام شده است، گستره دمای پایداری کلریت بین 90°C - 300°C ، اپیدوت 220°C - 300°C ، کوارتز 75°C - 300°C ، اکتینولیت 250°C - 300°C و کلسیت 60°C - 300°C متغیر است [۳۶] (شکل

علاوه بر داده‌های ایزوتوبی بالا، شواهد صحرایی زیر نیز حکایت از این دارند که عامل دگرسانی سنگهای زون کلریت-اپیدوت منطقه تتماج، آب دریا بوده که در زمان فعالیت آتشفسانی، با نفوذ و چرخش در سنگ‌های آتشفسانی باعث تجزیه آن‌ها شده است:

- سنگ‌های آتشفسانی و تنهشتی به صورت متناوب در منطقه حضور دارند و وجود لایه‌بندی منظم در آن‌ها دلالت بر زیر آبی بودن فوران‌ها دارد.

- فسیلهای موجود در سنگ‌های آهکی نشان می‌دهد که این موجودات در یک محیط زیردریایی نزدیک به ساحل می‌زیسته‌اند.

- حضور میکروفاسیسهای ریف مرجانی و لاغونی در سنگهای آهکی که به صورت بین لایه‌ای با سنگ‌های آتشفسانی منطقه رخنمون دارند نشان می‌دهد که این مجموعه در یک محیط زیردریایی نزدیک به ساحل تشکیل شده است.

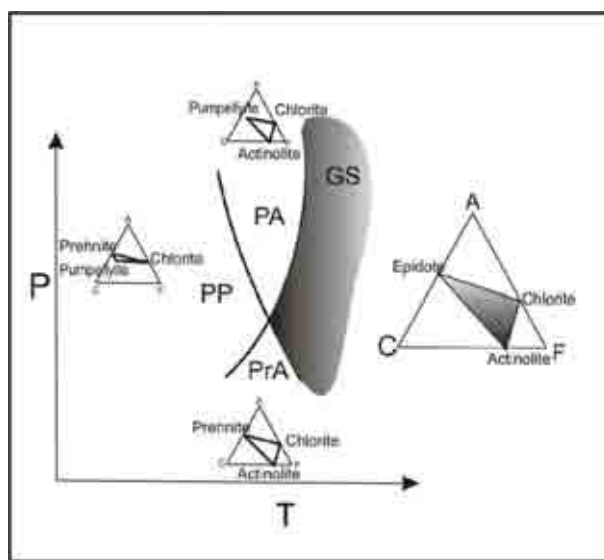
- آثار دگرسانی در طبقات تنهشتی روی گدازه‌ها مشاهده نمی‌شود که این امر می‌تواند دلالت بر رخداد دگرسانی حین فعالیتهای آتشفسانی داشته باشد. به عبارتی پس از حاکم شدن آرامش بر محیط و توقف فعالیتهای آتشفسانی که خود با ته-نشستی سنگ‌های آهکی فسیل‌دار توأم بوده است، فعالیتهای دگرسانی نیز متوقف شده است.

- تکه‌پاره‌های گدازه گرد شده موجود در قاعده طبقات ته-نشستی، سالم‌اند و در آن‌ها آثار دگرسانی مشاهده نمی‌شود (شکل ۵). با توجه به این که این تکه‌پاره‌ها از بالاترین بخش هر روانه آتشفسانی مشتق شده‌اند و از طرفی شدت دگرسانی نیز از بالا به طرف پایین توالی آتشفسانی افزایش می‌یابد، لذا به نظر می‌رسد همزمان با رخداد فرایند دگرسانی در بخش‌های تحتانی توالی، بخش‌های فوقانی آن در تماس با آب دریا تا حدی تکه تکه شده و با تنهشتیهای کربناتی فسیل‌دار دریایی سیمان شده باشند. عدم تأثیر فرایند دگرسانی روی تکه پاره‌های موجود در آهک‌ها، گویای توقف دگرسانی در مرحله تنهشتی آهک‌ها و پس از آن است، و به عبارتی حاکی از همزمانی فرایاندهای دگرسانی و آتشفسانی است.

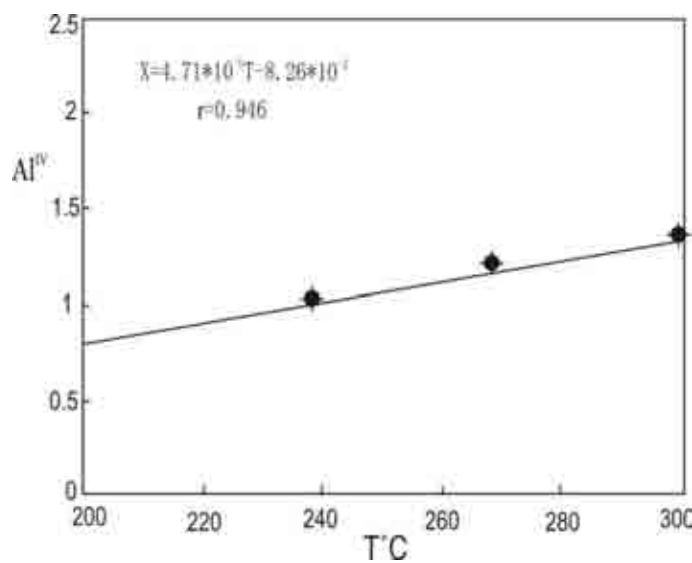
با توجه به شباهت کانی‌شناسی بین سنگ‌های زون دگرسانی کلریت-اپیدوت با زون دگرسانی اپیدوت و اختلاف آنها با سنگ‌های زون هماتیتی، به نظر می‌رسد که فرایند

این گستره دمایی با دمای محاسبه شده با دمای محاسبه شده با دمای مناسبه شده با دماسنج کلریت همخوانی مناسبی نشان می‌دهد.

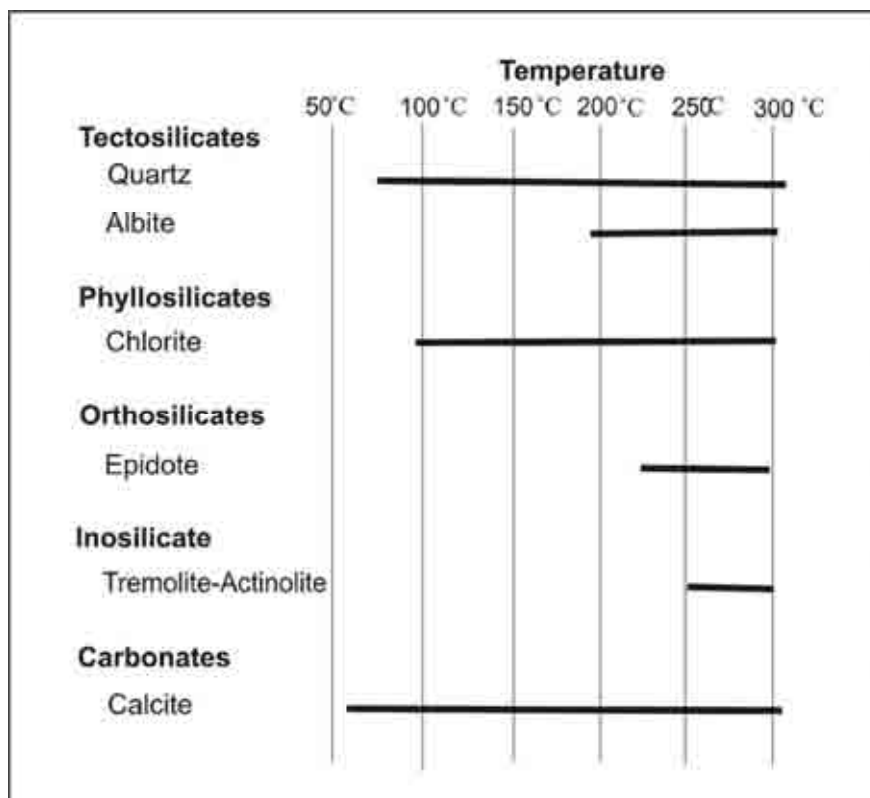
۱۲). با توجه به همراهی کانیهای کلریت، اپیدوت و اکتینولیت در سنگ‌های دگرسان شده منطقه می‌توان دمای دگرسانی این سنگ‌ها را بین ۳۰۰ تا ۲۵۰ درجه سانتیگراد در نظر گرفت که



شکل ۱۰ نمودار ACF که در آن گستره پایداری کانیهای مربوط به هر یک از رخساره‌های شیست سبز (GS)، پرهنیت-اکتینولیت (PrA) و پمپله‌ایت-اکتینولیت (PA) مشخص شده است. همچنین قلمرو پایداری این رخساره‌ها روی نمودار دما-فشار در سمت چپ شکل نشان داده شده است [۲۶ و ۲۷]. چنانکه مشاهده می‌شود گستره پایداری کانیهای موجود در سنگ‌های آتشفسانی منطقه مورد مطالعه (رخساره شیست سبز) با رنگ تیره در شکل مشخص شده است.



شکل ۱۱ زمین-دماسنگی کلریت با استفاده از روش کادلینو و همکاران [۲۸ و ۲۹]. چنانکه در شکل مشاهده می‌شود کلریتهای منطقه در دمای بین ۲۴۰ تا ۳۰۰ درجه سانتیگراد تشکیل شده‌اند.



شکل ۱۲ گسترهٔ دمای تشكیل کانیهای تشکیل دهنده سنگهای آتشفشاری تتمامی که بخشی از نتایج تحقیقات بالانگ است [۳۶]. با توجه به پاراژن سنگهای دگرسان منطقه، دمای تشكیل کانیهای دگرسان بین ۰ تا ۳۰۰ درجه سانتیگراد ارزیابی می‌شود.

هماتیت، کلریت، اکتینولیت، کلسیت، کوارتز و سریسیت در آن‌ها تشکیل شده‌اند.

- بررسی‌های سنگ‌شناختی نشان می‌دهد که سنگهای آتشفشاری به سه صورت دستخوش دگرسانی شده‌اند: (الف) دگرسانی فرآگیر (ب) دگرسانی انتخابی (ج) دگرسانی پرکننده رگه‌ها و رگچه‌ها.

- نتایج آنالیز ریزپردازشی نشان داد که پلازیوکلارهای مورد آزمایش در منطقه از نوع آلبیت، کلینوپیروکسن‌ها از نوع اوژیت و کلریت‌ها به صورت کلینو کلر و پیکوکلریت در سنگ حضور دارند.

- ترکیب ایزوتوب‌های پایدار کلسیتهای گرمایی زون دگرسانی کلریت-اپیدوت نشان داد که خاستگاه شاره عامل دگرسانی این زون آب دریا بوده است.

- با توجه به شباهت کانی‌شناسی بین سنگهای زون دگرسانی کلریت-اپیدوت با زون دگرسانی اپیدوت و اختلاف آن‌ها با

۵- برداشت

برداشت‌های حاصل از بررسی دگرسانی و زمین‌دما‌سنجی سنگهای آتشفشاری- تهنشستی منطقه تتمامی به شرح زیراند:

- وجود بین لایه‌هایی از سنگهای تهنشستی در بین روانه‌های آتشفشاری دلالت بر تناوب فعالیتهای آتشفشاری و تهنشستی در منطقه دارد.

- فسیلهای موجود در سنگهای آهکی نشان می‌دهد که سن مجموعه آتشفشاری- تهنشستی تتمامی الیگوسن است.

- حضور میکروفاسیسهای ریف مرجانی و لاگونی در سنگهای آهکی منطقه حاکی از آن است که یک محیط زیردریایی نزدیک به ساحل در زمان تشكیل این سنگها حاکم بوده است.

- بررسی‌های صحرایی، میکروسکوپی و نتایج حاصل از پراش پرتو X نشان داد که سنگهای آتشفشاری این مجموعه در حد رخساره شیست سیز، دستخوش دگرسانی گرمایی (پروپلیتی) ناکنواخت و گسترده شده‌اند، و کانیهای ثانویه آلبیت، اپیدوت،

- [8] Titley S.R., Beane R.E., "Porphyry copper deposits", *Economic Geology* 75th Ann. (1981) PP. 214-269.
- [9] Marcelot G., Maury R.C. and Lefevre C., "Mineralogy of Erromango Lava New Hebride: Evidence of an early stage of fractionation in island arc basalts", *Lithos* 16 (1983) 135-151.
- [10] Evans A.M., "Ore geology and industrial minerals: Blackwell-Sci", Pub. (1992) p.390.
- [11] کریم‌پور م.ح., سعادت س., "زمین‌شناسی اقتصادی کاربردی", نشر مشهد، (۱۳۸۱) ۵۳۵ ص.
- [12] White N.C., Hedenquist J.W., "Epithermal gold deposits: styles, characteristics and exploration", *Society of Economic Geologists Newsletter* 23 (1995) 1-13.
- [13] Skirrow R.G., Franklin J.M., "Silicification and Metal Leaching in Semiconformable alteration beneath the Chisel lake massive sulfide deposit, Snow lake, Manitoba", *Economic Geology* 89 (1994) 31-50.
- [14] Seyfried W.E., Jr. Janecky D.R., "Heavy metal and sulfur transport during subcritical and supercritical hydrothermal alteration of basalt: Influence of fluid pressure and basalt composition and crystallinity", *Geochimica et Cosmochimica Acta* 49 (1985) 2545-2560.
- [15] Dalstra H., Guedes S., "Giant hydrothermal hematite deposits with Mg-Fe metasomatism a comparison of the Carajas, Hamersley, and other Iron", *Geology* 99 (2004) pp. 1793-1800.
- [16] Faure G., "Principles of isotope geology", 2nd Edition, John Wiley and Sons, New York, (1986) p.589.
- [17] Ohmoto H., "Systematics of sulfur and carbon isotopes in hydrothermal ore deposits", *Economic Geology* 67 (1972) pp. 551-578.
- [18] Ohmoto H., and Rye R.O., "Isotopes of sulfur and carbon". In H. L. Barnes, ed., *Geochemistry of hydrothermal ore deposits*, 2nd ed., John Wiley, New York (1979) p 798.
- [19] Rollinson H.R., "Using geochemical data: evalution presentation interpretation", Longman group UK Ltd, (1993) p. 352.
- [20] Hudson J.D., "Stable isotopes limestone lithification", *Journal of Geological Society of London* 133 (1977) 637-660.
- [21] Baker A.J., Fallick A.E., "Evidence from Lewisian limestones for isotopically heavy carbon in two-thousand-million-year-old sea water", *Nature* 337 (1989) 352-354.

سنگ‌های زون هماتیتی، به نظر می‌رسد که فرایند دگرسانی احتمالاً در دو مرحله سنگ‌های منطقه را تحت تأثیر قرار داده باشد. سنگ‌های زون کلریت-اپیدوت در مرحله اول و در شرایط زیردریایی تحت نفوذ آب دریا دگرسان شده‌اند و سنگ‌های زون هماتیتی که بر خلاف دو زون دیگر در شرایط اکسایش و تحت تأثیر آبهای جوی تشکیل شده‌اند، در مرحله بعدی و احتمالاً پس از خروج سنگها از آب به وجود آمده‌اند.

- بر پایه بررسیهای زمین-دماسنجی روی کانی کلریت و گستره دمای پایداری کانی‌های ثانویه دیگر موجود در سنگ‌های آتشفشاری تماماج، مشخص شد که این سنگ‌ها در گستره دمایی 240°C تا 300°C دگرسان شده‌اند.

قدردانی

این کار پژوهشی حاصل طرح تحقیقاتی "زمین‌شناسی و پترولولوژی سنگ‌های آتشفشاری تماماج (جنوب شرق کاشان)" به شماره پرونده ۶۴۰۴/ک ۱۶۰۵۰۲۶ است که با حمایت مالی معاونت محترم پژوهشی دانشگاه تهران انجام شده است. لذا بدینوسیله از همکاری ارزنده آن معاونت قدردانی می‌شود.

مراجع

- [1] Stocklin J., "Geology of the area between Kashan, Ardestan, Isfahan. Iran oil Co", 108B, 13 (1954) 24.
- [2] Pourhosseini F., "Petrogenesis of Iranian plutons: a study of the Natanz and Bazman intrusive complexes", P.h.D. Thesis University of Cambridge (1981) p. 315.
- [3] علی‌ی مهابادی س., خلعت بری جعفری م. نقشه زمین‌شناسی ۱/۱۰۰۰۰۰ چهار گوش نطنز. ورقه شماره نطنز.
- [4] عمیدی س.م، امامی م.ه، زاهدی م.، زهره‌بخش ع.م، نقشه زمین‌شناسی ۱/۲۵۰۰۰ چهار گوش کاشان، (۱۳۵۶) ورقه شماره F7
- [5] Morimoto N., Fabries J., Ferguson A.K., Ginzburg I.V., Ross M., Seifert F.A., Zussman J., Akoi K. and Gottardi. G., "Nomenclature of pyroxenes", *Mineral. Mag.* 65 (1988) 1-28.
- [6] Fisher R.V., "Schmincke H.U Pyroclastic Rocks", Springer-Verlag, Berlin (1984) pp. 472.
- [7] Loeblich A., Tappan H., "Foraminiferal genera and their classification", Van nostrand reinhold (1988).

- dissolution and related subsolidus changes", Journal of Petrology 27(1986) 945-956.*
- [30] Schiffman P., Fridleifsson G.O., "The smectite to chlorite transition in drillhole NJ-15, Nesjavellir Geothermal Field, Iceland: XRD, BSE, and electron microprobe investigations", Journal of Metamorphic Geology 9 (1991) 679–696.
- [31] Caritat P., Hutcheon I., Walshe J.L., "Chlorite geothermometry:a review", Clay Mineralogy 41 (1993) 219–239.
- [32] Boyce A.J., Fulignati P., Sbrana A., "Deep hydrothermal circulation in a granite intrusion beneath Larderello geothermal area (Italy): constraints from mineralogy, fluid inclusions and stable isotopes", Journal of Volcanology and Geothermal Research 126 (2003) 243-262.
- [33] Bird D.K., Schiffman P., Elders W.A., Williams AE., McDowell S.D., "calc-silicate mineralization in active geothermal system", Economic Geology 79 (1984) 671-695.
- [34] Cho. M., Liou J.G., Maruyama S., "Transition from the zeolite to prehnite-pumpellyite facies in the Karmutsen metabasites ,Vancouver Island, British Columbia", Journal of Petrology 27 (1986) 467-494.
- [35] Reyes A.G., "Petrology of Philippine geothermal systems and the application of alteration mineralogy to their assessment", Journal of Volcanology and Geothermal Research 43 (1990) 279–309.
- [36] Balangue M.I.R.D., "Chemical reaction path modeling of hydrothermal mineralization in the Tongonan geothermal field, Leyte (Philippines)", Geothermics 33 (2004) 143-179.
- [22] Stakes D.S. and O'Neil J.R., "Mineralogy and stable isotope geochemistry of hydrothermally altered oceanic rocks", Earth and Planetary Science Letter 57 (1982) 285-304.
- [23] Richardson C.K., Rye R.O., Wasserman M.D., "The chemical and thermal evolution of the fluids in the Cave-in-rock fluorspar district, Illinois: stable isotope systematics at the Deardorff mine", Economic Geology 83 (1988) 765-783.
- [24] Wright I.P., Grady M.M., Pillinger C.T., "Carbon, Oxygen and nitrogen isotopic composition of possible martian weathering products in EETA 79001", Geochimica et Cosmochimica Acta 52 (1988) 917-924.
- [25] Deines P., Gold D.P., "The isotope composition of carbonatite and kimberlite carbonates and their bearing on the isotope composition of deep seated carbon", Geochimica et Cosmochimica Acta 37 (1973) 1709-1733.
- [26] Liou J.G., Seki Y., Guillemette R., Sakai H., "compositions and paragenesis of secondary minerals in the Onikobe geothermal system, Japan", Chemical Geology 49Z (1985) 1-37.
- [27] Bucher, K., Frey, M., Petrogenesis of metamorphic rocks. Springer - Verlag, (1994) 318p.
- [28] Cathelineau M., Nieva D., "A chlorite solid solution geothermometer, The Los Azufres (mexico) Geothermal system", Contribution to Mineralogy and Petrology 91 (1985) 235-244.
- [29] Cathelineau M., "The Hydrothermal alkali metasomatism effect on granitic rocks: Quartz